

류마티스관절염 활막세포에서 IL-17과 TLR 상호전달을 통한 RANKL과 IL-6 생성 조절

건국대학교 의학전문대학원 류마티스내과, 의생명과학연구원 의학면역센터¹,
가톨릭대학교 류마티스연구센터²

김경운¹ · 이상현¹ · 조미라² · 오혜좌² · 우윤주² · 김석형¹ · 김해림¹

= Abstract =

IL-17 and Toll-like Receptor 2 or Toll-like Receptor 4 Combined Engagement Upregulates RANKL and IL-6 in Human Rheumatoid Synovial Fibroblasts

Kyoung-Woon Kim¹, Sang-Heon Lee¹, Mi-La Cho², Hye-Joa Oh²,
Yun-Ju Woo², Suk-Hyung Kim¹, Hae-Rim Kim¹

Division of Rheumatology Konkuk University School of Medicine, Medical Immunology Center, Institute of Biomedical Science and Technology¹, The Catholic University of Korea, Rheumatism Research Center², Seoul, Korea

Objective: The aim of this study was to clarify whether stimulation of recombinant IL-17, TLR2 and TLR4 by their specific ligands induces the production of RANKL and IL-6 in the fibroblast-like synoviocytes (FLSs) from RA patients.

Methods: FLSs were isolated from RA synovial tissues and they were stimulated with the IL-17, TLR2 ligand bacterial peptidoglycan (PGN) and TLR4 ligand lipopolysaccharide (LPS). The RANKL levels were assessed by RT-PCR and western blotting. The expressions of IL-17, TLR2, TLR4, RANKL and IL-6 in the RA synovium were quantified by immunohistochemistry and these values were compared with the values obtained in the osteoarthritis synovium. The increased IL-6 production in the culture supernatants of the RA FLSs was quantified by sandwich ELISA.

Results: The mRNA and protein levels of RANKL and IL-6 increased in the RA FLSs stimulated with PGN, LPS and IL-17, or PGN plus IL-17 or LPS plus IL-17. The expressions

< 접수일 : 2010년 2월 12일, 수정일 : 2010년 2월 18일, 심사통과일 : 2010년 2월 19일 >

※통신저자 : 이 상 현

서울시 광진구 구의로 265

건국대학교병원 류마티스내과

Tel : 02) 2030-7541, Fax : 02) 2030-7747, E-mail : shlee@kuh.ac.kr

이 논문은 2007년도 정부(교육과학기술부)의 재원으로 한국학술진흥재단의 지원을 받아 수행된 연구임(한국학술진흥재단-2007-355-C00028).

of IL-17, TLR2, TLR4, RANKL and IL-6 were much higher in the RA synovium than those in the osteoarthritis (OA) synovium.

Conclusion: We observed synergistic effects of TLR-2, TLR-4 and IL-17 upon the induction of RANKL. In conclusion, our data supports the previous evidence of an important role of TLR-2, TLR-4 and IL-17 in the pathogenesis of RA.

Key Words: Toll-like receptor, IL-17, RANKL, IL-6, RA FLS

서 론

류마티스관절염(Rheumatoid arthritis)은 관절내 대식세포 및 T 세포 등 염증세포의 침윤 및 활막의 이상증식(hyperplasia)을 특징으로 하며, 분비되는 염증성 사이토카인들이 관절 파괴에 중요한 인자로 작용한다고 알려져 있다 (1).

대표적 염증성 사이토카인으로는 지금까지 interleukin (IL)-1 β 와 tumor necrosis factor (TNF)- α 가 주목을 받아왔다 (2). 하지만 최근 새로운 세포군으로 알려진 T helper 17 (Th17)에서 분비되는 IL-17이 자가면역질환에서 중요하다는 보고가 계속되면서, IL-17이나 IL-23와 같은 사이토카인이 자가면역 관절염에서 새로운 치료 표적 사이토카인으로 주목을 받게 되었다 (3-5).

류마티스관절염에서 IL-17은 Th17 림프구에서 생성되어 활막세포, 단핵구, 대식세포 및 연골세포 등에 작용하여 다양한 사이토카인을 유리시켜 관절의 염증 및 파괴에 주요한 역할을 한다. 이들의 발현은 대부분 IL-17A, F로 활성화된 기억 CD4+나 CD8+ 세포에서 생산이 되며 (6), 미경험 T 세포에 IFN- γ 와 IL-4를 차단하고, IL-6와 IL-21을 주어 배양하면 Th17로 분화하고, IL-23가 증가된다 (7-9).

최근까지 연구에 의해 IL-17은 RANKL receptor를 통한 골흡수세포(osteoclast)를 활성화시켜 관절조직을 파괴 시키는데 관여하는 사이토카인으로 알려져 있다 (10). 또한 활막세포에서는 IL-6와 leukemia inhibitory factor (LIF) 생성을 유도하고 연골세포에서는 prostaglandin E2 (PGE2)와 nitric oxide (NO)의 생성을 유도하며 수지상 세포에서는 세포의 분화와 활성을 촉진시킬 수 있는 다양한 기능이 있는 물질로 알려져 있다 (11-13). IL-17은 골관절염 환자와 비교했을 때 류마티스관절염 환자의 순환액과 혈액에서

더 많이 생성이 되는 것이 보고된바 있으며 (14), 관절염 동물모델에서 핵심적인 역할을 수행하는 것으로 알려져 있다 (15).

Toll-like receptor (TLR)는 류마티스관절염의 병인에 관련된 중요한 인자 중 한가지로 생체 내로 침입한 미생물의 pathogen-associated molecular pattern (PAMP)과 결합하여 항원제시세포를 활성화하여 염증 사이토카인 및 케모카인을 생성하는 유전자를 활성화시키고 T 림프구를 활성화시켜 선천면역 및 적응면역에 주요한 역할을 한다고 알려져 있다 (16). 류마티스관절염 환자 활막 섬유모세포 및 대식세포에서 TLR-2가 발현되며, 배양된 류마티스관절염 활막 섬유모세포에서 IL-1과 TLR-2 리간드에 의하여 TLR-2 발현이 증가된다고 알려져 있다 (17).

또 하나의 중요한 인자인 receptor activator for nuclear Factor κ B Ligand (RANKL)은 세포막에 위치한 TNF과의 하나로 파골세포의 전구체에 존재하는 receptor activator of NF- κ B (RANK)에 결합하여 파골세포의 형성 및 활성을 증가시킨다. 이러한 RANKL의 골 흡수활성은 osteoprotegerin (OPG)에 의해 조절되는데 이는 용해 가능한 TNF 수용체의 하나로 RANKL과 결합하여 RANKL-RANK간의 상호작용을 방해하는 유인수용체(decoy receptor)의 역할을 하므로 파골세포의 형성이 억제 된다 (18,19). 특히 최근에는 파골세포의 형성 및 생존, 골 흡수 기능은 RANKL 및 OPG의 절대량의 증감보다는 RANKL과 OPG의 비율에 의해 결정되는 것으로 밝혀졌다 (20-23).

류마티스관절염 환자의 순환액 및 혈청에서 IL-6의 수치가 증가되어 있고 류마티스관절염에서의 만성 활막염의 정도와 순환액 내 IL-6의 농도가 비례하며(32) 혈청 내 IL-6의 농도와 C-reactive protein (CRP), Ritchie articular index, 조조 강직의 시간이 서로 연관되어 있어 IL-6도 류마티스관절염의 병태생리에 중요한 역할을 하는 것으로 생각된다.

RANK 수용체는 파골세포는 물론이며 나아가 암 세포주, 류마티스 관절염에서도 발현되고 있으며, 실제로 RANK 수용체를 자극하는 파골세포 자극인자인 RANKL을 류마티스관절염 환자의 활막세포에서 조사하는 것은 관절염 병인 연구의 핵심이라고 할 수 있다. 현재까지 활막세포의 RANKL 발현에 있어서 TLR와 IL-17의 공조자극에 대한 연구가 미비한 실정이다.

이에 본 논문에서는 류마티스관절염 환자 활막세포에서 IL-17과 TLR 자극을 통한 RANKL과 IL-6 발현을 알아보려고 하였다.

대상 및 방법

1. 대상

건국대학교병원에 내원하여 진단된 류마티스 관절염 환자 8명을 대상으로 하였다. 대상자의 성별은 여성이 6명, 남성이 2명이며, 나이는 62±3세였다.

2. 시약

사용한 자극제로는 peptidoglycan (PGN) (SIGMA, USA) 1, 5, 25 ug/ml, lipopolysaccharide (LPS) (SIGMA, USA) 1, 10 ng/ml를 사용하였고 사이토카인으로는 IL-17 1, 5, 25 ng/ml (R&D, USA)을 사용하였다.

3. 활막세포 분리와 배양

류마티스관절염 환자의 인공관절 치환술을 통해 얻은 조직으로부터 활막세포를 분리하였다. 활막 조직을 2~3 mm의 조각으로 잘게 부순 후 5% CO₂와 37°C의 Dulbecco's modified Eagle's medium (DMEM)에 넣고 제1형 collagenase (Worthington Biochemical, Freehold, NJ) 4 mg/ml를 가하여 4시간 동안 처리하였다. 분리된 세포를 원심분리(1,200 rpm, 10분)하여 10% FCS, 2 mM glutamine, penicillin (100 unit/ml), streptomycin (100 μg/ml)를 가한 DMEM에 재부유시켜 75-cm₂ 플라스크에 분주하였다. 하루가 지난 후 배양기에 부착되어 있는 세포만을 10% FBS를 가한 DMEM에서 5% CO₂와 37°C의 조건에서 배양하고 배양액은 매 3일마다 교환하였다. 플라스크 바닥의 90~95%가 활막세포로 충전되면 신선한 배양액으로 1:3 희석하여 계대 배양하였다. 실험에는 4~8 계대의 활

막세포를 사용하였다. 배양된 세포가 활막세포임을 확인하기 위해 항CD14 PE 항체, 항CD3 FITC 항체, 항Thy-1 (CD90) FITC 항체(BD Pharmingen)를 이용하여 유세포 분석을 시행하였다.

4. RNA 분리와 B-actin & RANKL의 역전사 효소-PCR

추출한 총 RNA를 주형으로 cDNA를 만들었으며 Diethyl Pyrocarbonate (DEPC) 증류수에 용해되어 있는 2 ug의 RNA에 Oligo (dT) (Invitrogen, USA) 1 μl와 10 mM dNTP mixture (TakaRa, JAPAN) 1 μl를 가하고 65°C의 수조에 5분간 방치한 후 바로 얼음에 담가 급냉시켰다. 4 μl의 5× first strand (TakaRa, JAPAN), 2 μl 0.1 M DTT (TakaRa, JAPAN), 1 μl Ribonuclease Inhibitor (TakaRa, JAPAN)와 혼합하고 총 반응액이 20 μl가 되도록 증류수를 가하였다. 37°C로 2분간 반응시킨 후 1 μl M-MLV Reverse Transcriptase⁹⁹ (TakaRa, JAPAN)를 더하고 37°C 50분, 70°C 15분 반응시켜 cDNA를 얻었다. 이렇게 생성된 cDNA 산물을 이용하여 중합효소 연쇄반응을 시행하였다.

본 실험에 사용한 RANKL, beta-actin의 시발체는 모두 Genotec Co (Korea)에서 구입하였고 염기 서열은 RANKL (sense; ACC AGC ATC AAA ATC CCA AG, antisense; CCC CAA AGT ATG TTG CAT CC), Beta-actin(sense; GGA CTT CGA GCA AGA GAT GG, antisense; TGT GTT GGC GTA CAG GTC TTT G)을 사용하였다.

PCR 과정 중 각각 서로 다른 양으로 역전사된 cDNA와 PCR cycle 수를 변경하면서 PCR을 시행하여 대수적으로 증가하는 cDNA 양과 PCR cycle 수를 결정하였다. PCR을 위한 반응 화합물은 총 25 μl가 되도록 하였고 용액의 조성은 2.5 μl의 10×reaction buffer (10 mM Tris-HCl, pH 8.3; 15 mM MgCl₂; 50 mM KCl; TakaRa, JAPAN), 0.5 mM의 dNTP (TakaRa, JAPAN), 최종 각각 1 M의 두가지 시발체, 1.25 unit의 Taq DNA polymerase (TakaRa, JAPAN)를 함유한 용액 내에 1 μl의 역전사된 cDNA를 첨가한 후 시행하였다. 증폭을 위해 Takara PCR Thermal Cycler (TakaRa, JAPAN)를 사용하였다. 변성을 위해서 94°C에서 1분간, annealing은 beta-actin에서 60°C에서 1분,

RANKL에서도 59°C에서 1분간, 신장을 위해서 72°C에서 1분간의 과정을 beta-actin에서는 25회, RANKL에서는 30회씩 반복하였다. 음성 대조군으로 추출한 cDNA 대신 증류수를 사용하여 시행한 PCR 반응에서 beta-actin PCR 산물이 관찰되지 않도록 하여 PCR 오염이 없음을 확인하였다.

5. RANKL의 단백질 발현조사(Western blot)

전기영동은 12% SDS-PAGE (sodium dodecyl sulfate polyacrylamide gel)을 사용하였고 전기영동시 한 lane에 가하는 시료는 세포 수 5×10^5 으로부터 추출된 양이 되게 조절하였다. 전기영동 후 젤은 nitrocellulose 흡착지(Amersham Pharmacia Biotech, Germany)를 사용하여 4°C, 100 volt, 150 mA로 2시간 동안 단백질을 이동시켰다. 전기영동을 끝낸 후 흡착지를 분리해내어 차단용액(5% fat free skim milk in Tris-Buffered Saline)에 담가 실온에서 1시간 반응시켰다. 차단용액을 버리고 세척용액(0.01% Tween20/Tris-Buffered Saline)으로 차단용액을 세척하였다. 흡착지를 꺼내어 1 : 1,000으로 희석한 항 RANKL 항체(Santa Cruz Laboratory, USA) 또는 항 beta-actin 항체(SIGMA, USA)로 4°C, 밤새 반응시키고 흡착지를 꺼내어 세척용액으로 3회 세척하였다. 항체 희석액으로 HRP (horseradish peroxidase)가 부착된 goat anti-rabbit IgG (PIERCE, USA)로 1 : 1,000으로 희석한 후 실온에서 1시간 동안 반응시켰다. 흡착지를 꺼내어 세척용액으로 4번 세척하고 Supersignal west Pico Chemiluminescent Substrate (PIERCE, USA)의 용액 1, 2를 1 : 1로 섞어서 흡착지에 반응시키고 X-ray film (AGFA, Belgium)에 노출시켜 항체 결합 신호를 확인하였다.

6. 사이토카인 IL-6 측정

Sandwich ELISA용 96 well plate (NUNC, Denmark)에 capture monoclonal IL-6 Ab (R&D, USA) 4 ug/ml을 plate에 50 ul/well씩 넣고 4°C, 밤새 반응시킨 다음 차단용액 (1%BSA/PBST)을 200 ul/well씩 넣고 실온에서 2시간 반응시킨다. standard로는 recombinant human IL-6 (R&D, USA)을 이용하여 10 ng/ml~15.6 pg/ml 농도를 사용하였다. Standard와 함께 측정할 세포 배양 상층액을 50 ul/well씩 넣고 실온에서 2시간 반응시켰다. Well을 세척용액(0.05% Tween20/pho-

sphate-buffered saline, PBS)으로 4번 세척하고 biotinylated goat-anti-human IL-6 Ab (R&D, USA)를 100 ng/ml로 희석하여 50 ul/well씩 넣어 실온에서 2시간 반응시킨 후 세척용액으로 4번 세척하였다. 마지막으로는 ExtraAvidin-Alkaline Phosphatase conjugate (SIGMA, USA)를 1 : 2,000으로 희석하여 50 ul/well씩 넣고 실온에서 2시간 반응시키고 세척 후 PNPP (Fluka, Phosphate Disodium Salt Hexahydrate)/DEA 용액(Diethanolamine 97 ml, NaN₃ 0.2 g, MgCl₂·6H₂O 0.1 g, 1차 증류수 800 ml)을 1 mg/ml 농도로 녹여 50 ul/well씩 넣어 20~30분 후 0.2 N NaOH로 반응을 멈추고 405 nm 파장에서 흡광도를 측정하였다.

7. 면역조직염색화법

4% 파라포름알데하이드에 고정된 각 활막(류마티스관절염 환자, 골관절염 환자) 조직을 통상의 방법대로 파라핀에 포매한 후 절편기를 이용하여 7 um 절편을 만들어 슬라이드에 붙인 후 헤마톡실린과 에오진(hematoxylin-eosin) 염색을 하여 광학현미경으로 관찰하였다. 사이토카인의 발현의 측정은 면역조직화학염색방법으로 ABC (Vector laborites, Burlingame, CA, USA) kit를 사용하여 염색하였으며, 슬라이드에 부착된 절편을 자일렌과 에탄올로 탈파라핀과 합수를 시킨 후 3% H₂O₂로 내인성 과산화효소를 차단시키고, PBS으로 수세한다. 비 특이적인 반응을 차단할 목적으로 anti mouse serum을 30분 반응시킨 후 primary Ab를 4°C에서 IL-6, IL-17 (R&D systems, 1 : 100), TLR- 2, TLR-4, RANKL (Santa cruz, 1 : 100)을 다음날(16 h)까지 반응시켰다. Primary Ab 반응 후 결합이 안된 항체를 PBS로 수세하고 바이오틴이 결합된 이차 항체와 과산화효소가 결합된 streptavidin 반응을 시킨 후 DAB으로 발색시킨다. Mayer's 헤마톡실린으로 대조염색한 후 수세하고 봉입하여 광학현미경을 관찰하였다.

8. 통계적 유의성의 검증

실험 결과는 평균과 표준오차로 표현하였으며 통계적 유의성은 SPSS 통계 프로그램(version 10.0)을 사용하여 student's *t*-test를 실시하였고 p값이 0.05 이하일 때 통계적으로 유의하다고 분석하였다.

결 과

1. 류마티스관절염 활막세포에서 IL-17과 TLR 리간드 자극을 통한 RANKL mRNA 발현 변화

류마티스관절염 환자의 활막세포에서 IL-17이나 TLR 리간드 자극에 의한 RANKL의 생성을 비교해 보고자 PGN, LPS, IL-17로 자극하여 RANKL mRNA 발현을 RT-PCR법으로 조사하였다. TLR-2, TLR-4 자극인자로 알려진 PGN과 LPS를 단독으로 자극 했을 때, PGN의 5 ug/ml 자극에서 자극하지 않은 군과 비교하여 RANKL의 mRNA 생성 비율이 가장 증가하였다(7.2±0.8 vs 1, p<0.01). IL-17의 자극 농도로는 1, 5, 25 ng/ml을 사용하였고 그 결과 농도 의존적으로 RANKL의 mRNA 발현이 증가하는 것으로 조사

되었다(1.7±0.5, 2.5±0.4, 8.7±1.3 vs 1)(그림 1A). 이때 IL-17과 비교해 PGN과 IL-17을 함께 자극한 조건에서 더 증가하였으며(7.7±1.2 vs 3.4±0.4, p<0.05), PGN과 IL-17을 함께 자극한 조건과 비교해 PGN, LPS, IL-17 세가지를 함께 자극한 조건에서 더 유의하게 증가하였다(12.4±2.6 vs 7.7± 1.2, p<0.05)(그림 1B).

2. 류마티스관절염 활막세포에서 IL-17과 TLR 리간드 자극을 통한 RANKL 단백질 발현 변화

류마티스관절염 환자의 활막세포에서 IL-17이나 TLR 리간드 자극에 의한 RANKL 단백질 발현을 western blot법으로 조사하였다. PGN, LPS, IL-17 단독으로 다양한 자극농도로 자극하였을 때 자극하지 않은 군과 비교하여 RANKL의 단백질 발현이 농도 의존적으로 증가하였다(그림 2A). 이때 IL-17 단독과 비교

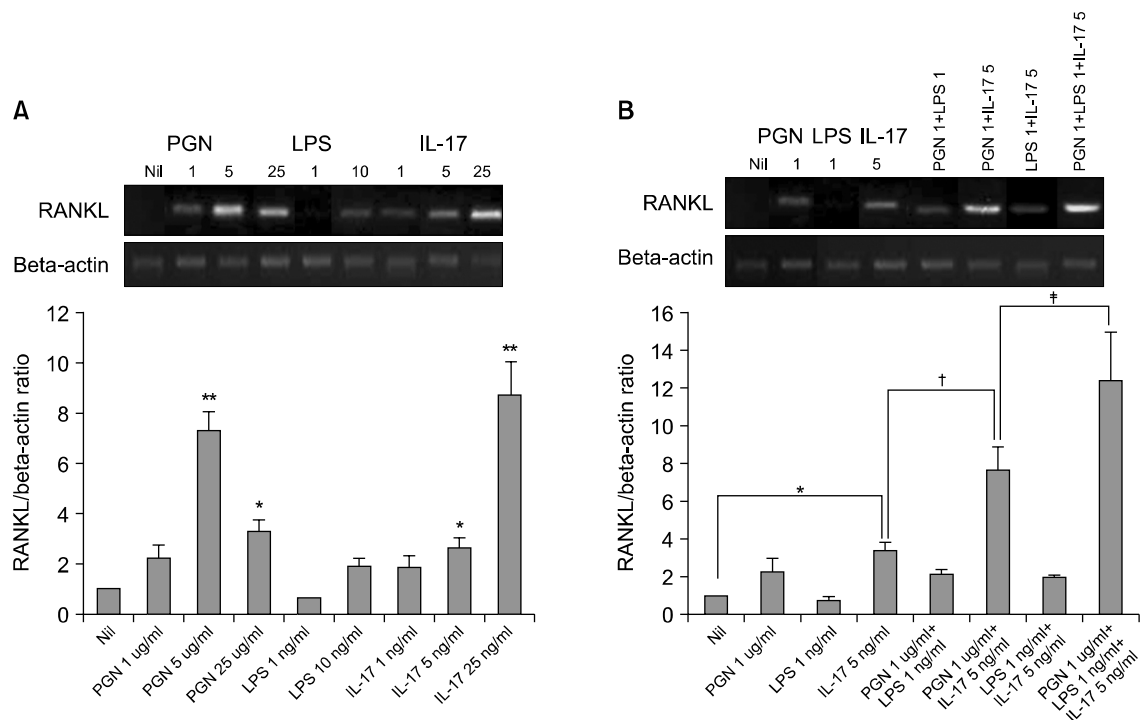


Fig. 1. RANKL mRNA expression by the RA-FLSs after stimulation with IL-17, PGN and LPS (A) The RANKL mRNA expression induced by IL-17, PGN and LPS. The FLSs were cultured with IL-17 (1, 5, 25 ng/ml), PGN (1, 5, 25 ug/ml) and LPS (1, 10 ng/ml) for 72 h. The expression of RANKL mRNA was evaluated by RT-PCR. The optical density was normalized to the band for beta-actin. (B) The RANKL mRNA expression induced by IL-17, PGN, LPS, IL-17 plus PGN, PGN plus LPS, and IL-17 plus PGN plus LPS. The expression of RANKL mRNA was evaluated by RT-PCR. *p<0.05, **p<0.01 compared with Nil, †p<0.05 compared with IL-17 5 ng/ml, ‡p<0.05 compared with PGN 1 ug/ml +IL-17 5 ng/ml.

해 PGN과 IL-17을 함께 자극한 조건에서 통계적으로 의미있게 더 증가하였으며(10.7 ± 1.2 vs 2.9 ± 0.1 , $p < 0.05$), PGN과 IL-17을 함께 자극한 조건과 비교해 PGN, LPS, IL-17 세가지를 함께 자극한 조건에서 더 유의하게 증가하였다(16.8 ± 0.8 vs 10.7 ± 1.2 , $p < 0.05$) (그림 2B).

3. 류마티스관절염 활막세포에서 IL-17과 TLR 리간드를 통한 IL-6 생성능 변화

IL-6는 autoreactive T 세포를 활성화시키고 류마티스 인자의 생성을 촉진하며 CRP, fibrinogen 등 acute phase reactant의 생성을 유도하고 VEGF의 생성을 증가시키며 albumin의 생성을 억제한다. 최근 논문 결과에 따르면 IL-6는 T 세포의 증식과 세포독성 T 세

포로의 분화도 촉진하며 파골 세포분화를 촉진하여 류마티스 관절염의 관절 손상에 주요한 역할을 한다고 알려져 있다 (25,26) 본 연구에서는 류마티스관절염 환자 활막세포에 IL-17이나 TLR 리간드로 72시간 자극후 세포 배양액에서 sandwich ELISA법으로 IL-6 단백질 생성능을 조사하였다.

PGN과 LPS를 단독으로 자극 했을 때 PGN의 자극농도로는 5 ug/ml을 사용하였을 때 자극하지 않은 군과 비교하여 IL-6의 생성이 가장 증가하였다($1,480 \pm 189$ vs 93 ± 7 , $p < 0.01$). IL-17의 자극 농도로는 1, 5, 25 ng/ml을 사용하였고 자극하지 않은 군과 비교하여 농도 의존적으로 IL-6의 생성이 증가하였다(125 ± 2 , 271 ± 55 , $1,082 \pm 81$ vs 93 ± 7) (그림 3A). 반면, 류마티스관절염 활막세포에 LPS 단독에 의한 IL-6 생성 증

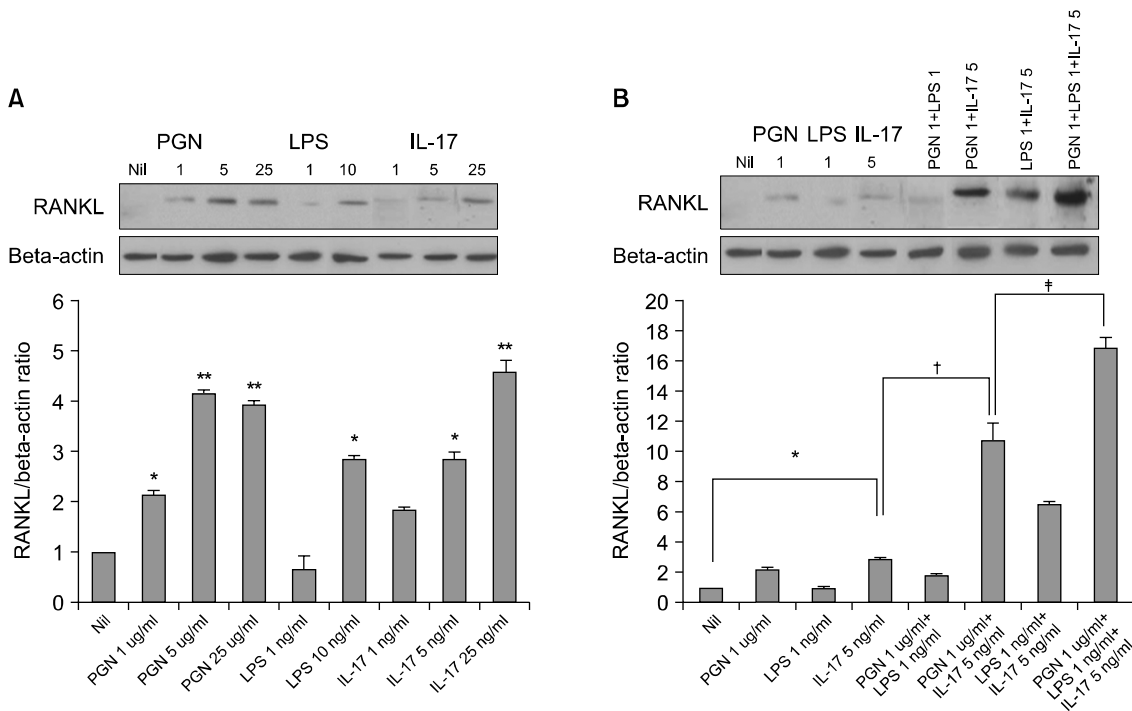


Fig. 2. The RANKL protein expression in the RA-FLSs increased significantly after treatment with IL-17, PGN and LPS (A) The RA-FLSs were cultured with or without IL-17 (1, 5, 25 ng/ml), PGN (1, 5, 25 ng/ml) or LPS (1, 10 ng/ml) for 72 h. The RANKL protein expression was measured in the cell lysates by western blot analysis using goat polyclonal anti-RANKL antibody. (B) The RANKL protein expression induced by IL-17, PGN, LPS, IL-17 plus PGN, IL-17 plus LPS, PGN plus LPS, and IL-17 plus PGN plus LPS. The results are expressed as the ratio of the densitometric intensity of the RANKL product to that of the beta-actin product. The results are presented as the mean \pm S.E.M., $n=3$. * $p < 0.05$, ** $p < 0.01$ compared with Nil, † $p < 0.05$ compared with IL-17 5 ng/ml, ‡ $p < 0.05$ compared with PGN 1 ug/ml +IL-17 5 ng/ml.

가에는 별 변화가 없었다. 이때 IL-17과 비교해 PGN과 IL-17을 함께 자극한 조건에서 IL-6가 더 증가하였으며(1,071±80 vs 271±55, $p < 0.05$), PGN과 IL-17을 함께 자극한 조건과 비교해 PGN, LPS, IL-17 세 가지를 함께 자극한 조건에서 IL-6생성이 더 유의하게 증가하였다(1,492±12 vs 1071±80, $p < 0.05$) (그림 3B).

4. 류마티스관절염 활막조직에서 IL-17, TLR-2, TLR-4, RANKL, IL-6 발현 변화

류마티스관절염 환자의 활막조직에서 IL-17, TLR-2, TLR-4, RANKL, IL-6 발현의 차이를 대조군인 골관절염 환자의 활막조직과 비교하기 위하여 면역조직 염색화학법으로 조사하였다. 류마티스관절염 환

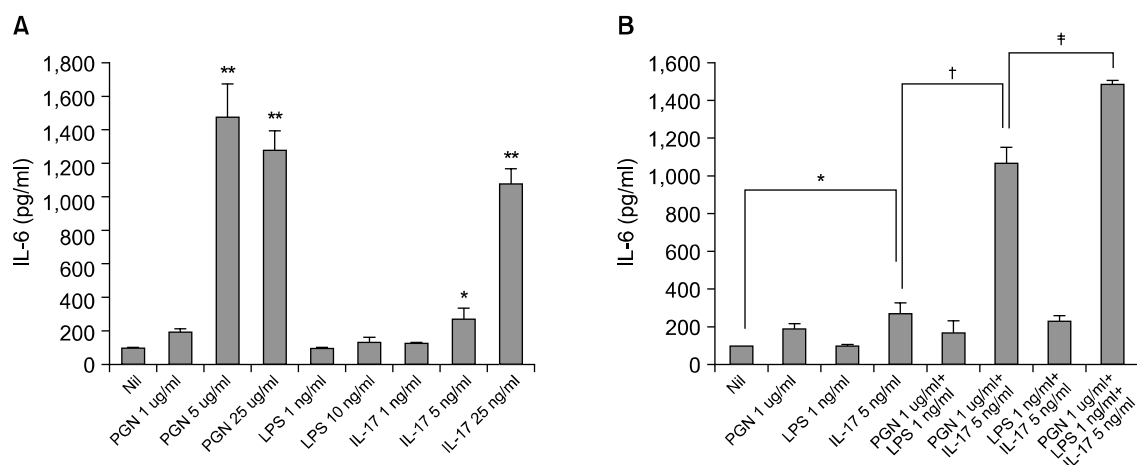


Fig. 3. Quantitation of the IL-6 production by IL-17, PGN and LPS in the RA-FLSs. (A) The FLSs were cultured with IL-17 (1, 5, 25 ng/ml), PGN (1, 5, 25 ng/ml) or LPS (1, 10 ng/ml) for 72 h, and the IL-6 concentrations in the culture supernatants were determined by enzyme-linked immunosorbent assay. (B) The IL-6 production induced by IL-17, PGN, LPS, IL-17 plus PGN, IL-17 plus LPS, PGN plus LPS, and IL-17 plus PGN plus LPS. Values are the mean and SEM of triplicate cultures. * $p < 0.05$, ** $p < 0.01$ compared with Nil, † $p < 0.05$ compared with IL-17 5 ng/ml, ‡ $p < 0.05$ compared with PGN 1 ug/ml +IL-17 5 ng/ml.

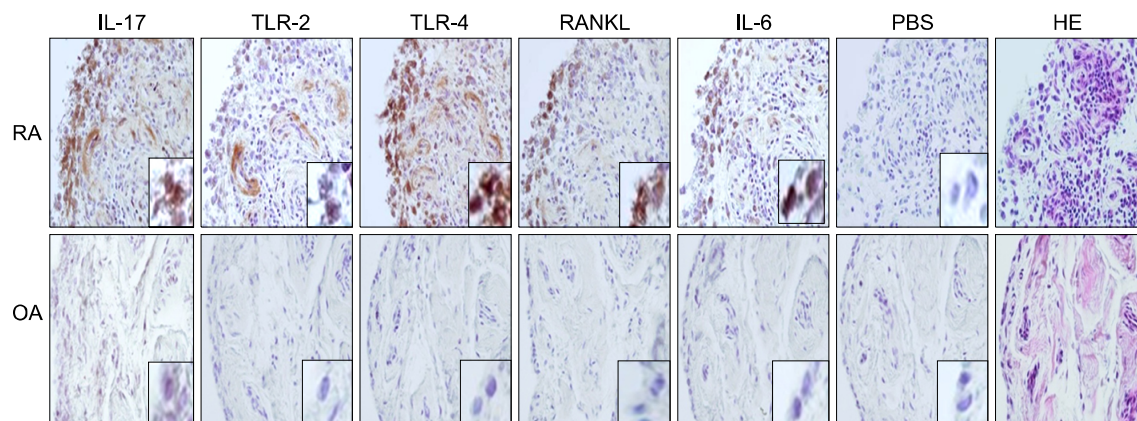


Fig. 4. The expressions of IL-17, TLR-2, TLR-4, RANKL and IL-6 was significantly greater in the RA synovium than those in the OA synovium. Immunohistochemical detection of IL-17, TLR-2, TLR-4, RANKL and IL-6 in the synovium of patients with RA and OA. All the tissues were counterstained with hematoxylin (original magnification, $\times 400$).

자의 활막조직에서 골관절염 환자 활막조직과 비교하여 IL-17, TLR-2, TLR-4, RANKL, IL-6의 발현이 활막의 표면층에서 더 증가되어 있었다(그림 4).

고 찰

TLR는 바이러스와 박테리아에서 생성되는 LPS와 같은 microbial molecules을 인식하여 침입한 항원에 대하여 효과적인 T 세포 반응을 일으키는데 작용한다. 이러한 TLR의 이상적인 신호전달은 결국 자가면역 질환의 발병에 관여한다.

류마티스관절염 섬유모세포에서 TLR-2 활성화는 IL-6, tissue destructive metalloproteinase 및 adhesion molecule 발현과 (27) 케모카인 생성을 증가시킨다 (28). 또한 류마티스관절염 환자의 말초혈액에 TLR-2의 발현이 증가된 CD16⁺ 대식세포의 수가 증가하며, 이 세포들은 TLR-2 작용제(agonist)에 의하여 TNF- α , IL-1, IL-6 및 IL-8 생성을 증가시키며, 활막의 표면층(lining layer)에 존재하는 것이 보고되어 TLR 활성화가 관절염 발생과 연관됨이 확인되었으나, 명확한 작용은 밝혀진 것이 없다.

IL-17은 Th17 세포에서 생성되는 사이토카인으로 다발성 경화증 등의 자가면역 질환의 병인에 중요한 역할을 하며, IL-17은 관절의 염증과 뼈 및 연골의 파괴를 증가시키며, 항IL-17 항체를 이용한 IL-17의 차단은 관절염증 및 파괴를 억제한다고 알려져 있다 (29,30). 최근 연구중 관절염 마우스 모델에서 IL-17에 의해 TLR-2, TLR-4, TLR-9 발현이 증가된다고 보고되어 (15), IL-17 자극에 의해 TLR 발현이 증가됨으로써 관절의 염증과 관절파괴가 더 심화될 수 있다.

류마티스관절염 환자에서 RANKL은 그 수용체인 RANK에 결합함으로써 파골세포를 분화시킨다는 *in vitro*와 *in vivo*에서 확인한 실험적 증거로부터 RANKL-RANK 결합을 억제하는 방법은 효과적인 뼈 질환 치료제가 될 수 있다는 타당성이 확보되었다.

본 연구에서는 류마티스관절염 환자의 활막세포에서 사이토카인 비의존성 경로(cytokine independent pathway)로 선천성 면역(innate immunity)과 관련된 TLR와 염증성 사이토카인 IL-17이 활막세포내 파골세포분화에 중요한 RANKL 발현에 미치는 영향을 알아보려고 하였다. 본 연구진은 TLR-2와 TLR-4가

류마티스관절염 환자의 활막세포에서 발현이 증가되어 있음을 밝히며 있으며 그 리간드 자극에 의해 RANKL 발현이 증가함을 확인하였다 (31).

본 연구의 결과에서 PGN, LPS, IL-17 각 단독으로 자극하였을 때 보다 PGN, IL-17함께 자극한 조건과 PGN, LPS, IL-17 세가지를 함께 자극한 조건들에서 RANKL 발현이 더 유의하게 증가함을 확인하였다.

IL-6에 대한 생물학적 역할에 대한 연구들로는 단구, 대식구, T 및 B 림프구와 기타 일부 세포에서 생성되는 26kDa의 사이토카인으로서 면역작용, 감염 및 염증반응 등에서 다양한 기능을 가지며 간(肝)세포를 자극하여 피브리노겐과 같은 혈장단백의 생성을 유도하여 간접적으로 염증반응에 관여한다고 알려져 있다. IL-6의 수용체는 IL-6R α 와 gp130로 구성되어 있으며 IL-6R α 는 IL-6와 직접 결합하여 IL-6-IL-6R α 이형이합체(heterodimer)를 만들고 gp130와 결합하여 세포내 신호전달이 일어난다. 최근까지도 다양한 세포에서 IL-6의 역할은 많이 조사되고 있다. 본 논문에서도 PGN, LPS, IL-17 각 조건들의 단독에 의해 IL-6생성 증가뿐 아니라 PGN+IL-17 함께 자극한 조건과 PGN, LPS, IL-17 세 가지를 함께 자극한 조건들에서 IL-6 생성이 더 유의하게 증가함을 확인하였다.

IL-17은 관절염 동물모델에서 TLR-2, TLR-4, TLR-9 발현을 증가시키며 (15), 관절염 환자의 활막세포에서 IL-6와 IL-8을 증가시킨다 (33). IL-6는 골아세포에서 RANKL을 증가시키고 파골세포 분화를 촉진시킨다 (34). 본 연구에서 IL-17과 TLR를 함께 자극하였을 때 IL-17이 TLR발현을 증가시킬 수 있으므로 TLR 신호전달이 증폭되어 RANKL 발현을 더욱 증가시켰을 것으로 생각된다. 또한 IL-17과 TLR를 함께 자극하였을 때 파골세포 분화를 촉진할 수 있는 IL-6 생성도 증가되었으므로 IL-17과 TLR를 함께 자극하면 단독보다 파골세포 분화를 증가시켜 결국 관절파괴를 더 악화시킬수 있을 것이다.

결 론

TLR-2, TLR-4와 IL-17의 조합효과는 류마티스관절염 환자의 활막 조직에서 다른 염증성 인자들의 발현을 유도하고 골조직 파괴 등을 유발하여 병의 진

행을 더욱 촉진시키는 것으로 생각되므로 TLR 리간드와 IL-17을 통한 RANKL과 IL-6 생성을 과약하고 그 기전을 억제할 수 있는 방안을 모색한다면 뼈 파괴의 핵심인자인 파골세포를 조절할 수 있으므로 관절염 치료에 중요한 기반 지식을 제공할 수 있을 것으로 생각된다.

참고문헌

- 1) Lacey D, Sampey A, Mitchell R, Bucala R, Santos L, Leech M, et al. Control of fibroblast-like synovocyte proliferation by macrophage migration inhibitory factor. *Arthritis Rheum* 2003;48:103-9.
- 2) Miossec P. An update on the cytokine network in rheumatoid arthritis. *Curr Opin Rheumatol* 2004;16:218-22.
- 3) Chabaud M, Durand JM, Buchs N, Fossiez F, Page G, Frappart L, et al. Human interleukin-17: a T cell-derived proinflammatory cytokine produced by the rheumatoid synovium. *Arthritis Rheum* 1999;42:963-70.
- 4) Sato K, Suematsu A, Okamoto K, Yamaguchi A, Morishita Y, Kadono Y, et al. Th17 functions as an osteoclastogenic helper T cell subset that links T cell activation and bone destruction. *J Exp Med* 2006;203:2673-82.
- 5) Aggarwal S, Ghilardi N, Xie MH, de Sauvage FJ, Gurney AL. Interleukin-23 promotes a distinct CD4T cell activation state characterized by the production of interleukin-17. *J Biol Chem* 2003;278:1910-4.
- 6) Miossec P. Interleukin-17 in rheumatoid arthritis: if T cells were to contribute to inflammation and destruction through synergy. *Arthritis Rheum* 2003;48:594-601.
- 7) Bettelli E, Carrier Y, Gao W, Korn T, Strom TB, Oukka M, et al. Reciprocal developmental pathways for the generation of pathogenic effector TH17 and regulatory T cells. *Nature* 2006;441:235-8.
- 8) Mangan PR, Harrington LE, O'Quinn DB, Helms WS, Bullard DC, Elson CO, et al. Transforming growth factor-beta induces development of the T (H)17 lineage. *Nature* 2006;441:231-4.
- 9) Fantini MC, Rizzo A, Fina D, Caruso R, Becker C, Neurath MF, et al. IL-21 regulates experimental colitis by modulating the balance between T (reg) and Th17 cells. *Eur J Immunol* 2007;37:3155-63.
- 10) Nakashima T, Kobayashi Y, Yamasaki S, Kawakami A, Eguchi K, Sasaki H, et al. Protein expression and functional difference of modulation of the expression by osteotropic factors and cytokines. *Biophys Res Commun* 2000;275:768-75.
- 11) LeGrand A, Fermor B, Fink C, Pisetsky DS, Weinberg JB, Vail TP, et al. Interleukin-1, tumor necrosis factor alpha, and Interleukin-17 synergistically up-regulate nitric oxide and prostaglandin E2 production in explants of human osteoarthritic knee menisci. *Arthritis Rheum* 2001;44:2078-83.
- 12) Attur MG, Patel RN, Abramson SB, Amin AR. Interleukin-17 up-regulation of nitric oxide production in human osteoarthritis cartilage. *Arthritis Rheum* 1997;40:1050-3.
- 13) Cai L, Yin JP, Starovasnik MA, Hogue DA, Hillan KJ, Mort JS, et al. Pathways by which interleukin 17 induces articular cartilage breakdown in vitro and in vivo. *Cytokine* 2001;16:10-21.
- 14) Kotake S, Udagawa N, Takahashi N, Matsuzaki K, Itoh K, Ishiyama S, et al. IL-17 in synovial fluids from patients with rheumatoid arthritis is a potent stimulator of osteoclastogenesis. *J Clin Invest* 1999;103:1345-52.
- 15) Lee JH, Cho ML, Kim JI, Moon YM, Oh HJ, Kim GT, et al. Interleukin 17 (IL-17) Increases the Expression of Toll-like Receptor-2, 4, and 9 by Increasing IL-1 β and IL-6 Production in Autoimmune Arthritis. *J Rheumatol* 2009;36:684-92.
- 16) Brentano F, Kyburz D, Schorr O, Gay R, Gay S. The role of Toll-like receptor signalling in the pathogenesis of arthritis. *Cell Immunol* 2005;203:90-6.
- 17) Seibl R, Birchler T, Loeliger S, Hossle JP, Gay RE, Saurenmann T, et al. Expression and regulation of Toll-like receptor 2 in rheumatoid arthritis synovium. *Am J Pathol* 2003;162:1221-7.
- 18) Madhok R, Crilly A, Watson J, Capell HA. Serum interleukin 6 levels in rheumatoid arthritis: correlations with clinical and laboratory indices of disease activity. *Ann Rheum Dis* 1993;52:232-4.
- 19) Nishimoto N, Kishimoto T. Inhibition of IL-6 for the treatment of inflammatory diseases. *Curr Opin Pharmacol* 2004;4:386-91.
- 20) Tamura T, Udagawa N, Takahashi N, Miyaura C, Tanaka S, Yamada Y, et al. Soluble interleukin-6 receptor triggers osteoclast formation by interleukin-6. *Proc Natl Acad Sci* 1993;90:11924-8.
- 21) Chole RA. Cellular and subcellular events of bone resorption in human and experimental cholesteatoma: The role of osteoclasts. *Ann Otol Rhinol Laryngol*

- 1984;94:76-95.
- 22) Kong YY, Yoshida H, Sarosi I, Tan HL, Timms E, Capparelli C, et al. OPGL is a key regulator of osteoclastogenesis, lymphocyte development and lymph-node organogenesis. *Nature* 1999;397:315-23.
- 23) Takahashi N, Udagawa N, Suda T. A new member of tumor necrosis factor ligand family, ODF/OPGL/TRANCE/RANKL, regulates osteoclast differentiation and function. *Biochem Biophys Res Commun* 1999; 256:449-55.
- 24) Haynes DR, Crotti TN, Potter AE, Loric M, Atkins DW, Findlay DM. The osteoclastogenic molecules RANKL and RANK are associated with periprosthetic osteolysis. *J Bone Joint Surg (Br)* 2001;83:902-11.
- 25) Kudo O, Sabokbar A, Pocock A, Itonaga I, Fujikawa Y, Athanasou NA. Interleukin-6 and interleukin-11 support human osteoclast formation by a RANKL independent mechanism. *Bone* 2003;32:1-7.
- 26) Madhok R, Crilly A, Watson J, Capell HA. Serum interleukin 6 levels in rheumatoid arthritis: correlations with clinical and laboratory indices of disease activity. *Ann Rheum Dis* 1993;52:232-4.
- 27) McFarland HF, Martin R. Multiple sclerosis: a complicated picture of autoimmunity. *Nat Immunol* 2007; 8:913-9.
- 28) Toh ML, Miossec P. The role of T cells in rheumatoid arthritis: new subsets and new targets. *Curr Opin Rheumatol* 2007;19:284-8.
- 29) Chevrel G, Page G, Granet C, Streichenberger N, Varennes A, Miossec P. Interleukin-17 increases the effects of IL-1 beta on muscle cells: arguments for the role of T cells in the pathogenesis of myositis. *J Neuroimmunol* 2003;137:125-33.
- 30) Page G, Chevrel G, Miossec P. Anatomic localization of immature and mature dendritic cell subsets in dermatomyositis and polymyositis. *Arthritis Rheum* 2004;50:199-208.
- 31) Kim KW, Cho ML, Lee SH, Oh HJ, Kang CM, Ju JH, et al. Human rheumatoid synovial fibroblasts promote osteoclastogenic activity by activating RANKL via TLR-2 and TLR-4 activation. *Immunol Lett* 2007;110:54-64.
- 32) Sack U, Kinne RW, Marx T, Heppt P, Bender S, Emmrich F. Interleukin-6 in synovial fluid is closely associated with chronic synovitis in rheumatoid arthritis. *Rheumatol Int* 1993;13:45-51.
- 33) Hwang SY, Kim JY, Kim KW, Park MK, Moon YM, Kim WU, et al. IL-17 induces production of IL-6 and IL-8 in rheumatoid arthritis synovial fibroblasts via NF- κ B- and PI3-kinase/Akt-dependent pathways. *Arthritis Res Ther* 2004;6:R120-8.
- 34) Kurihara N, Bertolini D, Suda T, Akiyama Y, Roodman GD. IL-6 stimulates osteoclast-like multinucleated cell formation in long term human marrow cultures by inducing IL-1 release. *The Journal of Immunology* 1990;144:4226-30.